

СООБЩЕНИЯ  
ОБЪЕДИНЕННОГО  
ИНСТИТУТА  
ЯДЕРНЫХ  
ИССЛЕДОВАНИЙ

ДУБНА



С342г2  
И-265

4/III-75

P3 - 8795

В.К.Игнатович, В.И.Лущиков

2759 / 2-75

ВЛИЯНИЕ КРИСТАЛЛИЧНОСТИ СРЕДЫ  
И ШЕРОХОВАТОСТИ ПОВЕРХНОСТИ  
НА ОТРАЖЕНИЕ УЛЬТРАХОЛОДНЫХ НЕЙТРОНОВ

**1975**

РЗ - 8795

В.К.Игнатович, В.И.Лушиков

ВЛИЯНИЕ КРИСТАЛЛИЧНОСТИ СРЕДЫ  
И ШЕРОХОВАТОСТИ ПОВЕРХНОСТИ  
НА ОТРАЖЕНИЕ УЛЬТРАХОЛОДНЫХ НЕЙТРОНОВ

В настоящей работе рассмотрено два вопроса: а/упругое отражение ультрахолодных нейтронов от кристалла; б/ влияние шероховатостей на коэффициент поглощения ультрахолодных нейтронов /УХН/. Первый вопрос возник в связи с тем, что эксперименты по хранению УХН<sup>1</sup> показали приблизительно одинаковое время хранения независимо от материала стенок ловушек, причем соответствующий этому времени коэффициент поглощения при однократном соударении УХН со стенкой составляет  $3 \cdot 10^{-1}$ , что по порядку величины примерно совпадает с параметром  $d^2/\lambda_{\text{гп}}^2 / d_0$  - межатомное расстояние,  $\lambda_{\text{гп}}$  - минимальная длина волны УХН/. Такого рода поправки могут возникнуть при более строгом рассмотрении отражения УХН от кристаллической среды и означают просачивание УХН сквозь кристалл.

Второй вопрос уже однажды рассматривался<sup>2</sup>; была получена интерполяционная формула для коэффициента поглощения в широкой области изменения параметров шероховатой поверхности, однако, как заметил А.В. Степанов<sup>3</sup>, в работе<sup>2</sup> не была учтена часть поглощения, связанная с экспоненциально затухающими волнами. Этот недостаток исправляется в данной работе.

В первом пункте работы рассмотрено отражение плоской скалярной волны УХН от одной кристаллической плоскости. Рассмотрение проводится на основе теории многократного рассеяния волн /МРВ/ /см., напр.,<sup>4,5</sup>/ . В теории МРВ рассеяние плоской волны  $\psi_0(\vec{r}) = \exp(i\vec{k}\vec{r})$  на объекте, состоящем из точечных рассеивателей /ядер/, описывается волновой функцией:

$$\psi(\vec{r}) = \psi_0(\vec{r}) - \tilde{b} \sum_j \frac{e^{ik|\vec{r}_j - \vec{r}|}}{|\vec{r}_j - \vec{r}|} \psi_j(\vec{r}_j), \quad /1/$$

где  $\bar{b}$  - амплитуда рассеяния на одном ядре /предполагается, что все ядра имеют одинаковую амплитуду/, сумма берется по всем ядрам и  $\psi_j(\vec{r}_j)$  - волновая функция на  $j$ -м ядре. Функция  $\psi_j$  складывается из падающей волны и из волн, идущих от всех других ядер, т.е.  $\psi_j$  подчиняется уравнению:

$$\psi_j = \psi_0(\vec{r}_j) - \bar{b} \sum_{l \neq j} \frac{e^{ik|\vec{r}_j - \vec{r}_l|}}{|\vec{r}_j - \vec{r}_l|} \psi_l, \quad /2/$$

где сумма в правой части берется по всем ядрам, кроме  $j$ -го.

Из результатов первого пункта следует, что кристаллическая плоскость с главными векторами решетки  $\vec{e}_x d_0$  и  $\vec{e}_y d_0$ , где  $\vec{e}_x$  и  $\vec{e}_y$  - единичные вектора, преобразует падающую волну в волны, рассеянные по обе стороны от плоскости, причем одна из этих волн - распространяющаяся, а другие - экспоненциально затухающие. Коэффициенты при этих волнах зависят не от  $\bar{b}$ , а от  $b = \bar{b}/(1 - ik\bar{b})$ , здесь  $b$  действительна для чисто упругого рассеяния. При наличии поглощения на ядрах  $b$  содержит мнимую часть. Это приводит к коэффициенту поглощения на кристаллической плоскости  $\mu = \mu_0 [1 + O(b^2/d_0^2)]$ , где  $\mu_0$  - коэффициент поглощения, определяемый для случая рассеяния на сплошной плоскости с потенциалом  $u = 4\pi n_0 b / n_0$  - плотность ядер на плоскости /потенциал выражен в единицах  $\hbar^2/2m$  //.

Во втором пункте работы рассматривается отражение от бесконечного кристаллического полупространства, с целью выявить, не увеличивается ли глубина проникновения УХН внутрь вещества и не происходит ли диффузия УХН по межатомным промежуткам, что привело бы к изменению коэффициента отражения или поглощения.

Из результатов этого пункта следует, что кристалличность среды приводит лишь к изменению фазы отраженной волны на величину  $\sim d^2/\lambda_{\text{гр}}^2$  по сравнению со случаем отражения от сплошного полупространства с потенциалом  $u_0 = 4\pi N b$ , где  $N$  - число ядер в единице объема. Указанный факт свидетельствует о том, что

утечка УХН внутрь среды не имеет места. Более того, поскольку фаза отраженной волны меняется незначительно, то и глубина проникновения меняется незначительно, т.е. коэффициент поглощения  $\mu$  увеличивается благодаря кристалличности лишь на величину порядка  $\mu_0 d_0^2 / \lambda_{\text{гп}}^2$ ,  $\mu_0$  - коэффициент поглощения при отражении от сплошной среды с потенциалом  $u_0$  /.

В третьем пункте мы рассматриваем прохождение УХН через слой конечной толщины и показываем, что коэффициент прохождения экспоненциально мал, т.е. просачивание  $\sim d_0^2 / \lambda_{\text{гп}}^2$  не имеет места.

В четвертом пункте рассматривается влияние экспоненциально затухающих волн на коэффициент поглощения в случае отражения от шероховатой поверхности и выводится интерполяционная формула для всей области изменения параметров шероховатой поверхности. В качестве параметров принимается среднеквадратичная высота шероховатостей  $\sigma$  и их средний горизонтальный размер или корреляционная длина  $\Gamma$ . При этом интерполяционная формула для коэффициента поглощения принимает вид:

$$\mu = \mu_0 \frac{2u_0 \sigma^2}{1 + C_1 \sqrt{u_0} \Gamma + u_0 \Gamma^2} \quad /3/$$

где  $C_1 \approx 0,6$ ;  $u_0 = u_0' - i u_0'' = 4\pi N b$ ;  $\mu_0 = \frac{\pi}{2} \frac{u_0''}{u_0'}$ .

При  $u_0 \sigma^2 \ll 1$  и  $u_0 \Gamma^2 \ll 1$  выражение /3/ дает  $\mu \approx \mu_0 \left( 1 + \frac{u_0' \sigma^2}{1 + C_1 \sqrt{u_0} \Gamma} \right)$ , легко получающееся по теории возмущений; при  $u_0' \sigma^2 \gg 1$  и  $\Gamma = 0$  получаем  $\mu \approx \mu_0 \sqrt{2u_0' \sigma}$ , согласующееся с коэффициентом поглощения при отражении от размытого края; при  $u_0' \sigma^2 \gg 1$ ,  $u_0' \Gamma^2 \gg 1$  получаем естественное увеличение коэффициента поглощения за счет увеличения поверхности:  $\mu \approx \mu_0 \sqrt{1 + 2\sigma^2 / \Gamma^2}$ .

## 1. Рассеяние на кристаллической плоскости

В правой части уравнения /2/ сумма берется не по всем ядрам, и это затрудняет его решение. Чтобы обойти эту трудность, воспользуемся следующим приемом.

Рассмотрим вместо уравнения /2/ несколько иное уравнение:

$$\psi_j^\Lambda = \psi_0(r_j') - \tilde{b} \sum_{\rho} \frac{e^{ik(r_j' - r_\rho')}}{|r_j' - r_\rho'|} (1 - e^{-\Lambda|r_j' - r_\rho'|}) \psi_\rho^\Lambda + \tilde{b}\Lambda \psi_j^\Lambda \quad /4/$$

в котором суммирование уже проводится по всем ядрам. Нетрудно видеть, что

$$\psi_j^\Lambda = \lim_{\Lambda \rightarrow \infty} \psi_j^\Lambda \quad /5/$$

Как следует из симметрии задачи, при смещении от ядра к ядру,  $\psi_j^\Lambda$  может приобретать только фазу. Поскольку эта фаза должна соответствовать падающей волне, то можно заключить, что

$$\psi_j^\Lambda = \tilde{A}_\Lambda \psi_0(r_j'), \quad /6/$$

где  $\tilde{A}_\Lambda$  - постоянная, для которой получается простое алгебраическое уравнение:

$$\tilde{A}_\Lambda = 1 - \tilde{b}\tilde{A}_\Lambda \tilde{C}_\Lambda, \quad /7/$$

здесь

$$\tilde{C}_\Lambda = \sum_{\rho} \frac{e^{ikr_\rho}}{r_\rho} (1 - e^{-\Lambda r_\rho}) e^{ikr_\rho'} - \Lambda. \quad /8/$$

Суммирование в /8/ можно выполнить с помощью тождества /см. приложение А/:

$$\sum_{N_1}^{N_2} f(n) = \sum_{m=-\infty}^{\infty} \int_{N_1}^{N_2} e^{2\pi imx} f(x) dx \quad /9/$$

/  $f(x)$  - произвольная функция/.

Выполнив суммирование с точностью до членов линейных по  $d_0$  /см. приложение Б/, получаем

$$\tilde{C} = \lim_{\Lambda \rightarrow \infty} \tilde{C}_\Lambda = -ik + \frac{2\pi i}{d_0^2 k_z} + \frac{c_0}{d_0} + c_1 (3k^2 - k_z^2) d_0. \quad /10/$$

Численные значения коэффициентов  $c_0$  и  $c_1$  найдены в приложении В:

$$\begin{aligned} c_0 &= -4 \\ c_1 &= 0,055. \end{aligned} \quad /11/$$

Обозначив  $C = \tilde{C} + ik = \frac{2\pi i}{d_0^2 k_z}$ , находим решение /7/ при  $\Lambda \rightarrow \infty$  в виде

$$\tilde{A} = \lim_{\Lambda \rightarrow \infty} \tilde{A}_\Lambda = \frac{1}{1 - ikb + b(C + \frac{2\pi i}{d_0^2 k_z})}. \quad /12/$$

Подставив полученное значение  $\tilde{A}$  или с учетом /6-5//  $\tilde{U}_j$  в выражение /1/, представив сферические волны, входящие в /1/, в виде фурье-разложения по плоским волнам и выполнив суммирование с помощью тождества /9/, получим волновую функцию нейтрона при наличии рассеивающей кристаллической плоскости  $z = z_0$  в виде

$$\psi(\vec{r}') = e^{ik_z z'} = \frac{2\pi i b \tilde{A}}{d_0^2} \sum_{\vec{p}_z} \frac{1}{p_z(\vec{r}')} e^{i p_z(\vec{r}') (z - z_0) + i k_z z_0 + i (k_\rho(\vec{r}'))^2 \rho}. \quad /13/$$

где

$$\vec{r}' = \frac{2\pi}{d_0} (\vec{e}'_x m + \vec{e}'_y n), \quad p_z(\vec{r}') = \sqrt{k^2 - (k'_\rho + \vec{r}')^2} = i \sqrt{(k'_\rho + \vec{r}')^2 - k^2},$$

$$\vec{k}'_\rho = (k'_x, k'_y)$$

Для дальнейшего удобно ввести некоторые обозначения:

$$b = \frac{\tilde{b}}{1 - ik\tilde{b}}, \quad b_1 = \frac{b}{1 + b \cdot C} = b(1 + O(b/d_0)). \quad /14/$$

Далее, удобно ввести  $u_0 = 4\pi b_1 / d_0^3 = 4\pi N_0 b_1$ . Предположим вначале, что  $u_0$  действительно. Заметим, что если устремить  $d_0$  к нулю, но при этом устремить и  $b$  к нулю так, чтобы  $b/d_0^2 = \text{const}$ , тем самым будет произведен переход к сплошной плоскости с потенциалом  $4\pi n b_1$ , и  $b_1 = b$ ,  $n = d_0^{-2}$ . С помощью  $u_0$  и  $d_0^2$  можно составить безразмерный малый параметр  $a = d_0 \sqrt{u_0}$  и чтобы его выделить всюду, где только возможно, необходимо перейти к безразмерным величинам  $k \rightarrow k' \sqrt{u_0}$  и  $r \rightarrow r'/d_0$ , т.е. всюду в дальнейшем, за исключением специально оговоренных случаев,  $k$  будет измеряться в единицах  $\sqrt{u_0}$ , а  $r$  - в единицах  $d_0$ . Чтобы выделить  $d_0$  из  $r$ , удобно под  $r'$  в дальнейшем понимать  $2\pi(\epsilon_x' m + \epsilon_y' n)$ . С учетом всего вышесказанного перепишем выражение /13/, выделив из суммы член  $s = 0$ , в виде:

$$\psi(\vec{r}) = e^{ik\vec{r}a} - \frac{i\alpha A}{2k_z} \exp[ik|z-z_0| + ik_z z_0 a + ik'_\rho \rho' a] - \frac{\alpha^2 A}{2} \sum_{\tau \neq 0} \frac{1}{p_\tau} \exp[-p_\tau |z-z_0| + ik_z z_0 a + i(\vec{r}' + \alpha \vec{k}'_\rho) \rho']$$

/15/

где  $p_\tau = \sqrt{(\vec{r}' + \alpha \vec{k}'_\rho)^2 - \alpha^2 k^2}$ ,  $A = 1 / (1 + \frac{i\alpha}{2k_z})$ .

Первые два члена в /15/ соответствуют распространяющимся волнам, тогда как сумма - экспоненциально затухающим /напомним, что  $z_0$  - координата местонахождения плоскости/. При  $\text{Im} u_0 = 0$ , т.е.  $\alpha$  действительно, никаких потерь при рассеянии не должно быть, т.е. сумма интенсивностей прошедшей  $|1 - \frac{i\alpha A}{2k_z}|^2$  и отраженной  $|\frac{i\alpha A}{2k_z}|^2$  волн должна равняться единице - интенсивности падающей волны. Нетрудно видеть, что это действительно имеет место. При наличии поглощения в системе ( $u_0 \neq 0$ ) можно ввести параметр  $\eta = b''/b' = u_0''/u_0'$ , тогда коэффициент поглощения оказывается равен



$$\mu^{-1} - 1 - \frac{i a A}{2 k_z} \left| \frac{i a A}{2 k_z} \right|^2 - \frac{\eta^a}{k_z} (1 + O(a^2)) = \mu_0 (1 + O(a^2)) / 16 /$$

/  $\mu_0$  - поглощение на сплошной плоскости/. Отсюда следует, что кристалличность плоскости изменяет  $\mu_0$  на сотые доли процента /поскольку для УХН  $a^2 \approx 10^{-4}$  /.

## 2. Отражение от кристаллического полупространства

Выражение /15/ можно интерпретировать так, что плоскость, находящаяся в точке  $z = z_0$ , возбуждается

волной с  $ik_z z_0 a$  и дает рассеяние волны с коэффициентом рассеяния  $- i a A / 2 k_z$  и экспоненциальные волны с коэффициентами  $- a^2 A / 2 p_r$ . В случае полупространства функция, возбуждающая плоскость, не равна  $\exp(ik_z z_0 a)$ , а имеет общий вид  $\phi(z_0)$ . Положим, что полупространство занимает область  $z > 0$ , и запишем уравнение для функции  $\phi(z_j)$ , возбуждающей ядра плоскости  $z = z_j$

$$\phi(z_j) = e^{ik_z z_j a} - \frac{i a A}{2} \sum_{r \neq j} \frac{1}{p_r(r)} e^{ip_r(r) |z_j - z_r|} \phi(z_r), \quad (r \neq j) \quad /17/$$

Будем искать решение этого уравнения в виде:

$$\phi(z_j) = \sum_Q Z(Q) e^{-Q z_j}. \quad /18/$$

Подставив /18/ в /17/ и приравняв соответствующие коэффициенты, получим /см. Приложение 1/, во-первых, уравнение для определения Q:

$$1 - \frac{i a A}{2 k_z} \left[ 1 + \frac{1}{1 - \exp(Q - ik_z a)} - \frac{1}{1 - \exp(Q + ik_z a)} \right] - \frac{a^2 A}{2} \sum_{r \neq 0} \frac{1}{p_r} \left[ (1 - \exp(p_r - Q))^{-1} + (1 - \exp(p_r + Q))^{-1} \right] = 0 \quad /19/$$

и, во-вторых, систему уравнений для определения коэффициентов  $B(Q)$ :

$$1 - \frac{i\alpha A}{2k_\gamma} \sum_Q B(Q) \{1 - \exp(-Q - ik_\gamma a)\}^{-1} = 0 \quad \gamma = 0 \quad /20/$$

$$\sum_Q B(Q) \{1 - \exp(p_\gamma - Q)\}^{-1} = 0 \quad \gamma = 0.$$

В уравнении /19/ учтем, что, согласно выражению для  $A$ ,

$$A = (1 - i\alpha A / 2k_\gamma)^{-1}. \quad /21/$$

После этого уравнение /19/ приводится к виду:

$$1 - \frac{\alpha}{2k_\gamma} \frac{\sin k_\gamma a}{\operatorname{ch} Q - \cos k_\gamma a} - \frac{\alpha^2}{2} \sum_{\gamma=0}^{\infty} \frac{1}{p_\gamma} \left(1 - \frac{\operatorname{ch} p_\gamma}{\operatorname{ch} Q - \operatorname{ch} p_\gamma}\right) = 0. \quad /22/$$

Корнями этого уравнения служат  $\lambda_\gamma = \operatorname{ch} Q_\gamma$ , которые действительны при действительных  $a$  /т.е. действительном  $a_0$  /, поскольку левая часть уравнения /22/ имеет мнимую часть, совпадающую по знаку с мнимой частью  $\operatorname{ch} Q$ , т.е. может обращаться в нуль только при  $\operatorname{Im}(\operatorname{ch} Q) = 0$ . Отсюда следует, что  $\operatorname{Im}(Q)$  может быть только вида  $2\pi i n$ . Корни уравнения удобно обозначить индексом  $\gamma$ . Их нетрудно найти разложением по  $a$  /см. Приложение Д/. С точностью до  $a^2$

$$Q_0 = \alpha k_\gamma \sqrt{a \sqrt{1 - k_\gamma^2}} \quad /23/$$

$$Q_\gamma = p_\gamma + \frac{\alpha^2}{2p_\gamma} - p_\gamma - \lambda_\gamma.$$

Теперь найдем коэффициенты  $B(Q)$  из системы /20/. Решение облегчается тем фактом, что каждое из уравнений системы содержит только два сравнительно больших слагаемых. В первом уравнении - это единица и член с  $Q_0$ , а в уравнении с номером  $\gamma$  - это слагаемые с  $Q_n$  и с  $Q_\gamma$ . Выразим  $B(Q_\gamma)$  через  $B(Q_0)$ :

$$B(Q_\tau) \approx \Lambda_\tau e^{-P_\tau} B(Q_0). \quad /24/$$

Подставим в первое уравнение системы /20/ и решим его относительно  $B(Q_0)$ :

$$B(Q_0) = \frac{2k_z}{i\alpha A} (Q_0 + ik_z \alpha) / [1 + (Q_0 + ik_z \alpha) \sum_{\tau \neq 0} \Lambda_\tau e^{-P_\tau}]. \quad /25/$$

Найденные коэффициенты позволяют с помощью /15/ найти сумму волн, отраженных каждой плоскостью, а значит и во всем полупространством:

$$\psi(r) = e^{ik_z r} - \frac{i\alpha A}{2k_z} e^{-ik_z z \alpha + ik_z \rho \alpha} \sum_j \phi(z_j) e^{ik_z z_j \alpha}. \quad /26/$$

Отсюда определяется коэффициент отражения  $R$ :

$$R = -i\alpha \frac{A}{2k_z} \sum_j e^{ik_z z_j \alpha} \sum_Q B(Q) e^{-Q z_j}. \quad /27/$$

Выполнив суммирование и подставив  $B(Q)$ , из /24-25/ найдем

$$R = \frac{\alpha k_z - iQ_0}{\alpha k_z + iQ_0} (1 - 2ik_z \alpha \sum_{\tau \neq 0} \Lambda_\tau e^{-P_\tau}). \quad /28/$$

Поскольку, согласно /23/,  $\Lambda_\tau \sim \alpha^2$  и  $Q_0 \sim \alpha k'_z (1 + O(\alpha^2))$ , причем при  $\alpha \rightarrow 0$   $Q_0$  действительно, то с точностью до  $\alpha^3$  имеем  $|R| \approx 1$ . Это означает, что никакой утечки порядка  $\alpha^2$  нет. Более того, поскольку амплитуда  $b_1$ , как это следует из /14/, отличается от амплитуды  $b$ , характерной для сплошной отражающей среды, на величину порядка  $\alpha^2$ , то влияние кристалличности на глубину проникновения УХН внутрь среды имеет тот же порядок малости, поэтому изменение коэффициента поглощения, обусловленное дискретностью среды, также можно охарактеризовать параметром  $\alpha^2$ :

$$\mu = \mu_0 (1 + O(a^2)), \quad /29/$$

где  $\mu_0$  - коэффициент поглощения при отражении от сплошной среды.

Рассмотрение задачи для некубической решетки приводит к аналогичным результатам.

### 3. Прохождение через слой

Уравнение для функции  $\phi(z_j)$ , возбуждающей ядра плоскости  $z_j$ , имеет тот же вид /17/, что и для полупространства, однако решение необходимо теперь искать в ином виде:

$$\phi(z_j) = \sum_Q [B_-(Q)e^{-Qz_j} + B_+(Q)e^{Qz_j}]. \quad /30/$$

Подстановка /30/ в /17/ приводит /см. Приложение E/ к уравнению /19/ для определения  $Q$  и к следующей системе уравнений для нахождения  $B_{\pm}(Q)$ :

$$1 - \frac{i\alpha A}{2k_z} \sum_Q [B_-(Q)/(1 - \exp(-Q - ik_z a)) + B_+(Q)/(1 - \exp(Q - ik_z a))] = 0$$

$$\sum_Q [B_-(Q)e^{-LQ}/(1 - \exp(Q - ik_z a)) + B_+(Q)e^{LQ}/(1 - \exp(-Q - ik_z a))] = 0$$

$$\sum_Q [B_-(Q)/(1 - \exp(p_T - Q)) + B_+(Q)/(1 - \exp(p_T + Q))] = 0 \quad /31/$$

$$\sum_Q [B_-(Q)e^{-LQ}/(1 - \exp(p_T + Q)) + B_+(Q)e^{LQ}/(1 - \exp(p_T - Q))] = 0$$

где  $L$  - толщина слоя.

Последние две группы уравнений позволяют выразить  $B_{\pm}(Q)$  через  $B_{\pm}(Q_0)$ :

$$\begin{aligned}
 B_-(Q_r) &= \Lambda_r e^{-P_r} [B_-(Q_0) + B_+(Q_0)] \\
 B_+(Q_r) &= \Lambda_r e^{-P_r} e^{-L P_r} [B_-(Q_0) e^{-L Q_0} + B_+(Q_0) e^{L Q_0}].
 \end{aligned}
 \tag{32/}$$

Подстановка этих значений в первые два уравнения системы /31/ позволяет найти  $B_+(Q_0)$ . Мы не будем выписывать здесь соответствующих громоздких выражений, отметим только, что  $B_-(Q_0)$  зависит от  $L$  слабо, а  $B_+(Q_0) \sim \exp(-2Q_0 L)$ . Подставив найденные значения  $B_{\pm}(Q)$  в /30/ и в /26/, получим амплитуду прошедшей волны:

$$\Gamma = -\frac{i\alpha A}{2k_z} e^{ik_z \alpha(L+1)} \sum \left[ \frac{B_-(Q) e^{-Ql}}{Q 1 - \exp(Q+ik_z \alpha)} + \frac{B_+(Q) e^{Ql}}{Q 1 - \exp(-Q+ik_z \alpha)} \right]. \tag{33/}$$

Как следует из /32/ и из зависимости  $B_{\pm}(Q_0)$  от  $L$ , каждый член суммы в /33/ убывает с  $L$  по меньшей мере как  $\exp(-Q_0 L)$ . Это означает, что вся сумма зависит от  $L$  экспоненциально, т.е.  $\Gamma \sim e^{-Q_0 L}$ , и никакое просачивание порядка  $\alpha^2$  не имеет места.

Все предыдущее рассмотрение относилось только к рассеянию падающей плоской однородной волны. Однако можно показать, что и волны других типов с энергиями меньше  $4\pi N_0 b$  не просачиваются сквозь кристаллическую структуру, т.е. их коэффициент прохождения кристаллического слоя конечной толщины экспоненциально мал.

Рассмотрим для примера сферическую волну.

$$\frac{e^{ikr}}{r} = \frac{i}{2\pi} \int \frac{d^2 p_{\rho}}{p_z} \exp(i \vec{p}_{\rho} \cdot \vec{\rho} + i p_z |z|)$$

где  $p_z = \sqrt{k^2 - p_{\rho}^2}$ . Эта сферическая волна представлена здесь в виде Фурье-разложения по плоским волнам, часть из которых однородна ( $p_z^2 > 0$ ), а часть - неоднородна ( $p_z^2 < 0$ ). Отметим сразу же, что любая плоская

волна с волновым вектором  $\vec{p}_\rho$ , будь то однородная или неоднородная, порождает после рассеяния на кристаллической плоскости с постоянной решеткой  $\vec{d}_0$  совокупность плоских волн с волновым вектором  $\vec{p}_\rho + \vec{\tau}$ :

$$\vec{\tau} = (2\pi/d_0)(\vec{e}_x n + \vec{e}_y m),$$

поэтому достаточно рассматривать плоские волны с

$$\vec{p}_\rho = \frac{\pi}{d_0}, \quad \text{т.е. принадлежащие как бы первой зоне}$$

Бриллюэна, поскольку прохождение волн с большими  $\vec{p}_\rho$  тождественно прохождению первых. Если посмотреть все формулы статьи, то можно увидеть, что при мнимом  $k_z$  мало что изменится. Никакого просачивания не будет. Мало того, что коэффициент прохождения через кристаллический слой конечной толщины будет экспоненциально мал, но и сама прошедшая волна, будучи неоднородной, в свою очередь экспоненциально затухает, причем она никак не может перейти в распространяющуюся волну, поскольку вектор  $\vec{p}_\rho$ , принадлежащий первой зоне Бриллюэна, не совпадает ни с каким  $\vec{\tau}$ . Если обратиться к формулам /23/, то из них можно увидеть, что

при мнимом  $k_z$ ,  $Q_0 \approx \sqrt{1 + k_z^2}$ , т.е. глубина проникновения неоднородной плоской волны меньше, чем однородной. Это и естественно, поскольку неоднородная волна имеет собственное затухание.

Таким образом, как плоские волны, так и волны других конфигураций не могут просачиваться через кристаллический слой, т.е. имеют коэффициент проникновения экспоненциального вида.

#### 4. Влияние шероховатостей на коэффициент поглощения

Настоящий раздел имеет самостоятельное значение и в нем будут приняты иные единицы, чем в предыдущих, а именно: в качестве единицы длины выберем  $l = \lambda_{\text{ГП}} = l \sqrt{\epsilon_0}$ . В этих единицах уравнение Шредингера для волновой функции, описывающей отражение плоской волны  $\exp(ik_0 r)$

от полупространства  $z > 0$ , ограниченного шероховатой поверхностью  $z = \zeta(\rho')$ , имеет вид:

$$[\sqrt{k^2 - \theta(z - \zeta(\rho'))}] \psi = 0, \quad /34/$$

где  $\theta(x)$  - ступенчатая функция, равная единице при  $x > 0$  и нулю при  $x < 0$ . Функция  $\zeta(\rho')$  считается случайной с параметрами  $\bar{\zeta} = 0$ ,  $\overline{\zeta^2} = a^2$ ,  $\overline{\zeta(\rho')\zeta(\rho'')} = a^2 \exp(-(\rho - \rho'')^2/T^2)$ , черта обозначает усреднение по реализациям. В случае идеально ровной поверхности  $\zeta = 0$ , и решение уравнения /34/ в области  $z > 0$  имеет вид:

$$\psi = \psi_0 \exp(ik'_0 z) + A_{k_0 z} \exp(ik'_{0z} z)$$

$$k'_0 = (k'_\rho, k'_z), \quad k'_\rho = (k'_x, k'_y), \quad k'_z = \sqrt{k^2 - k_\rho^2} \quad /35/$$

$$A_k = (k - ik') / (k + ik'), \quad k' = \sqrt{1 - k^2}$$

В случае малых шероховатостей /34/ можно решать по теории возмущений, взяв в качестве возмущения величину  $\delta u = \theta(z - \zeta(\rho')) - \theta(z)$ , тогда

$$\psi = \psi_0 + G_0 \cdot \delta u \cdot \psi_0 + G_0 \cdot \delta u \cdot b_0 \cdot \delta u \cdot \psi_0 + \dots \quad /36/$$

где символическая запись  $G_0 \cdot \delta u \cdot f$  означает:

$$G_0 \cdot \delta u \cdot f = \int G_0(r, r') \delta u(r') f(r') d^3 r',$$

а функция Грина  $G_0(r, r')$  подчиняется однородному уравнению

$$[\sqrt{k^2 - \theta(z)}] G_0(r, r') = \delta(r - r')$$

и благодаря однородности пространства в направлениях  $x$  и  $y$  может быть представлена в виде  $^2$ :

$$G_0(r, r') = \int \frac{d^2 k_\rho}{(2\pi)^2} e^{ik'_\rho(\rho - \rho')} G_{k'_z}(z, z'); \quad \rho' = (x, y); \quad k'_z = \sqrt{k^2 - k_\rho^2} \quad /37/$$

Функция  $G_{k_z}(z, z')$  выражается с помощью линейно независимых решений уравнения

$$\left[ \frac{d^2}{dz^2} + k_z^2 - \theta(z) \right] \psi(z) = 0.$$

Если обозначить их  $\mathcal{Y}_{k_z}$  и  $\mathcal{H}_{k_z}$  и выбрать таким образом, чтобы  $\mathcal{Y}_{k_z}$  содержала падающую волну  $\exp(ik_z z)$  в области  $z < 0$ , а  $\mathcal{H}_{k_z}$  только рассеянную волну  $\exp(-ik_z z)$  в той же области, то

$$G_{k_z}(z, z') = \frac{-1}{2ik_z} [\mathcal{Y}_{k_z}(z)\mathcal{H}_{k_z}(z')\theta(z-z') + \mathcal{Y}_{k_z}(z')\mathcal{H}_{k_z}(z)\theta(z'-z)]. \quad /38/$$

Подстановка /37/ в /36/ показывает, что оператор  $G\delta u$  порождает рассеянные волны с вектором  $k_\rho$  и амплитудой, зависящей от выражения

$$\int e^{-i(\vec{k}_\rho - \vec{k}_{0\rho})\vec{\rho}} \delta u(\vec{r}) d^2\rho. \quad /39/$$

Величина  $k_\rho$  в выражении /39/ может принимать любое значение, даже больше полного  $k$ . В этом случае

$k_z = i\sqrt{k_\rho^2 - k^2}$  - чисто мнимая величина, и порождаемые волны являются экспоненциально затухающими. Эти волны, однако, необходимо учитывать при расчетах с точностью до второго порядка теории возмущений, поскольку в третьем слагаемом выражения /36/ первый оператор  $G\delta u$ , действуя на  $\psi_0$ , порождает экспоненциально затухающие волны из  $\psi_0$ , а второй оператор  $G\delta u$  порождает из этих волн распространяющиеся рассеянные волны. Суммарное выражение для волновой функции /36/ может быть, согласно /2/, представлено в виде:

$$\begin{aligned} \psi = e^{i\vec{k}_{0+}\vec{r}} + A_{k_{0z}} [1 - \sigma^2(\beta_1 + \beta_2)] e^{i\vec{k}_{0-}\vec{r}} + \\ + \int \frac{d^2 k_\rho}{(2\pi)^2} e^{i\vec{k}_-\vec{\rho}} Q(\vec{k}_-, \vec{k}_{0+}) \end{aligned} \quad /40/$$



$$Q(\vec{k}_-, \vec{k}'_{0+}) = i[(k_{0z} - ik'_{0z}) / (k_z + ik'_z)] \cdot \int \zeta(\vec{\rho}) e^{i(k_{0\rho} - \vec{k}'_{\rho}) \cdot \vec{\rho}} d^2 \rho$$

$$\beta_1 = 2ik_{0z} k'_z, \quad \beta_2 = \frac{k_{0z}}{2\pi} T^2 \int (k_z - ik'_z) d^2 k_{\rho} \exp(-(k_{0\rho} - k'_{\rho})^2 T^2/4).$$

При отсутствии поглощения действительная часть  $\beta_2$  описывает уменьшение амплитуды зеркальной волны, обусловленное возникновением волн, рассеянных в не-зеркальные направления. Эта часть отвечает векторам  $k_{\rho} \ll k$  и правильно учтена в выражении /21/ работы [2], однако при наличии поглощения возникает дополнительное изменение зеркальной амплитуды, обусловленное тем, что экспоненциально затухающие волны испытывают действие мнимой части потенциала прежде, чем снова преобразуются в рассеянные волны. Эта часть не была учтена в работе [2], она может быть описана величиной

$$\gamma = \lambda \cdot \text{Re} \beta_2 = -\frac{\eta k_{0z}}{2\pi} \cdot \frac{T^2}{2} \int_{k'_{\rho} > k} \frac{d^2 k_{\rho}}{k_z'} e^{-(k_{0\rho} - k'_{\rho})^2 T^2/4} \quad /41/$$

$$= \frac{-\sqrt{\pi}}{2} k_{0z} \eta T \quad (\eta = u''_0 / u'_0)$$

при  $T \ll 1$ . С учетом этого члена коэффициент поглощения, усредненный по углам падения и спектру, при малых  $T$  и  $z$  равен

$$\mu = \mu_0 [1 + \sigma^2 (1 - C_1 T)], \quad \mu_0 = \frac{\pi}{2} n, \quad C_1 = \frac{16}{15\sqrt{\pi}} = 0,6. \quad /42/$$

Напомним, что при  $\sigma \gg 1$  и  $T=0$  из работы [2] следует

$$\bar{\mu} = \bar{\mu}_0 \cdot c \cdot \sigma, \quad c = 2\sqrt{3}/\pi = 1,1. \quad /43/$$

Кроме двух предельных значений /42-43/ можно найти коэффициент поглощения для случая  $\sigma \gg 1$  и  $T \gg 1$  поскольку при этих значениях параметров

$$\bar{\mu} = \bar{\mu}_0 \cdot S/S_0, \quad /44/$$

гд.  $S$  - истинная поверхность, а  $S_0$  - видимая. Из аналитической геометрии следует, что

$$\frac{S}{S_0} = \frac{1}{\cos \vartheta} = \sqrt{1 + (\bar{\nabla}_\rho \zeta(\rho))^2} = \sqrt{1 + 2 \frac{\sigma^2}{T^2}}. \quad /45/$$

Принимая во внимание /42-45/, запишем единую формулу для всех значений параметров:

$$\bar{\mu} = \bar{\mu}_0 \sqrt{1 + \frac{2\sigma^2}{1 + 0,6 \Gamma + T^2}} \quad /46/$$

или, переходя к размерным величинам:

$$\mu = \frac{\pi}{2} \eta \sqrt{1 + \frac{2\sigma^2 u_0}{1 + 0,6 \sqrt{u_0} \Gamma + u_0 T^2}}. \quad /47/$$

Полученное выражение позволяет оценить параметры поверхности при наличии сильного увеличения коэффициента поглощения.

Авторы искренне благодарны В.В.Голикову и И.М.Франку за полезные замечания.

### ПРИЛОЖЕНИЕ А

Сумма  $\sum_{n=N_1}^{N_2} f(n)$  может быть с помощью теоремы

о вычетах представлена в интегральной форме

$$\sum_{n=N_1}^{N_2} f(n) = \frac{1}{2i} \int_C \operatorname{ctg}(\pi z) f(z) dz, \quad /A1/$$

где интегрирование производится по контуру, указанному на рис. 1. На верхней части контура

$$\begin{aligned} \frac{1}{2i} \operatorname{ctg}(\pi z) &= \frac{1}{2} \frac{e^{i\pi(x+i\epsilon)} + e^{-i\pi(x+i\epsilon)}}{e^{i\pi(x+i\epsilon)} - e^{-i\pi(x-i\epsilon)}} = \\ &= -\frac{1}{2} (1 + e^{2\pi i(x+i\epsilon)}) \sum_{m=0}^{\infty} e^{2\pi i m(x+i\epsilon)}. \end{aligned} \quad /A2/$$

На нижней части контура

$$\frac{1}{2i} \operatorname{ctg}(\pi z) = \frac{1}{2i} \operatorname{ctg}(\pi(x - i\epsilon)) = \frac{1}{2} (1 + e^{-2\pi i(x - i\epsilon)})^{-1}$$

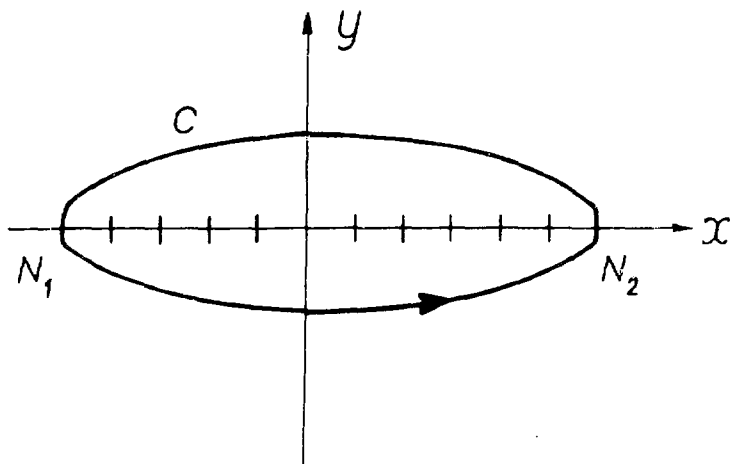
/A3/

$$= \frac{1}{2} + \sum_{m=1}^{\infty} e^{-2\pi i m(x - i\epsilon)}$$

Складывая обе части и устремляя  $\epsilon \rightarrow 0$ , получаем

$$\sum_{n=N_1}^{N_2} f(n) = \sum_{m=N_1}^{N_2} \int_{N_1}^{N_2} f(x) e^{2\pi i m x} dx,$$

/A4/



### ПРИЛОЖЕНИЕ Б

Воспользуемся представлением:

$$\frac{e^{ikr}}{r} = \frac{i}{2\pi} \int \frac{d^2 p_\rho}{p_z} e^{i(p_\rho \rho + p_z z)}$$

$$= \frac{i}{2\pi} \int \frac{d^2 p_\rho}{p_z} e^{i p_\rho \rho}$$

/Б1/  
z > 0.

Аналогично

$$\frac{e^{-ikr}}{r} e^{-\Lambda r} \Big|_{z=0} = \frac{\epsilon^{i(k+i\Lambda)r}}{r} \Big|_{z=0} = \frac{i}{2\pi} \int \frac{d^2 p_\rho}{P_{\Lambda z}} e^{i\vec{p}_\rho \vec{\rho}}, \quad /Б2/$$

$$P_{\Lambda z} = \sqrt{(k+i\Lambda)^2 - p_\rho^2},$$

С помощью этих выражений первый член правой части /8/ можно записать в виде:

$$\tilde{C}_{\Lambda+\Lambda} = \frac{i}{2\pi} \int d^2 p_\rho \frac{\sum e^{i(\vec{p}_\rho + \vec{k}_\rho) \vec{\rho}_l}}{P_z} \left( \frac{1}{P_z} - \frac{1}{P_{\Lambda z}} \right) = \quad /Б3/$$

$$= \frac{i}{2\pi \tau} \int d^2 p_\rho \int d^2 \rho e^{i d_0 (\vec{p}_\rho + \vec{k}_\rho) \vec{\rho} - 2\pi i \vec{\tau} \vec{\rho}} \left( \frac{1}{P_z} - \frac{1}{P_{\Lambda z}} \right)$$

$$\rho = \rho_l \cdot d_0, \quad \tau = \vec{e}_x m + \vec{e}_y n, \quad e_x^2 = e_y^2 = 1, \quad \vec{e}_x \vec{e}_y = 0.$$

Здесь мы воспользовались дважды правилом суммирования /А4/. Выполним интегрирование по  $d^2 p_\rho$  и  $d^2 \rho$  и выделим член с  $\tau = 0$ , тогда получим:

$$\tilde{C}_{\Lambda+\Lambda} = 2\pi i \sum_\tau \int d^2 p_\rho \delta(d_0 (\vec{p}_\rho + \vec{k}_\rho) - 2\pi \vec{\tau}) \left( \frac{1}{P_z} - \frac{1}{P_{\Lambda z}} \right).$$

$$= \frac{i}{d_0 k_{0z} \beta} + \frac{1}{d_0} \sum_{\tau \neq 0} \left( \frac{1}{P_\tau} - \frac{1}{P_{\Lambda \tau}} \right) + O\left(\frac{1}{\Lambda}\right) \quad /Б4/$$

$$\beta = d_0/2\pi, \quad P_\tau = \sqrt{(\vec{\tau} - \vec{k}_\rho \beta)^2 - k^2 \beta^2}, \quad P_{\Lambda \tau} = \sqrt{(\vec{\tau} - \vec{k}_\rho \beta)^2 + (\Lambda - ik)^2 \beta^2}.$$

Заметим, что величины типа  $k \cdot \beta$  малы по сравнению с единицей, поэтому правую часть можно разложить по степеням  $k \cdot \beta$ , воспользовавшись следующими соотношениями:

$$\frac{1}{|\mathbf{R} - \mathbf{a}'|} = \frac{1}{R} - (\mathbf{a}' \cdot \vec{\nabla}) \frac{1}{R} + \frac{1}{2} (\mathbf{a}' \cdot \vec{\nabla})^2 \frac{1}{R} + \dots \quad /B5/$$

$$\mathbf{a}' = (\beta k_\rho, ik\beta), \quad \mathbf{R} = (\vec{r}, 0) = \vec{r} \\ \vec{r}_\Lambda = (\vec{r}, \Lambda\beta).$$

Применим эти соотношения к  $1/p_r$  и  $1/p_{\Lambda r}$ , и оставим только члены до второго порядка по  $\beta k$ , которые после суммирования по  $\vec{r}$  не исчезают при стремлении  $\Lambda \rightarrow \infty$ , и воспользуемся тем фактом, что суммирование производится по положительным и отрицательным значениям  $\vec{r}$ , т.е. члены, пропорциональные нечетным степеням  $r_x$  и  $r_y$ , пропадают. В результате получим:

$$\tilde{C}_{\Lambda} + \Lambda = \frac{2\pi i}{d_0^2 k_{0z}} + \frac{1}{d_0} \sum_{\vec{r} \neq 0} \left[ \left( \frac{1}{r} - \frac{1}{r_\Lambda} \right) - \frac{ik\beta^2 \Lambda}{r_\Lambda^3} + \frac{\beta^2}{4} \frac{(3k^2 - k_z^2)}{r^3} \right] \quad /B6/$$

$$r_\Lambda = \sqrt{r^2 + \Lambda^2 \beta^2}.$$

Переобозначим  $\Lambda\beta = \lambda$  и рассмотрим коэффициент при  $1/d_0$  в выражении для  $\tilde{C}_\Lambda$ . Этот коэффициент равен:

$$C_{0\Lambda} = \sum_{(m,n) \neq (0,0)} \left[ \frac{1}{\sqrt{m^2 + n^2}} - \frac{1}{\sqrt{m^2 + n^2 + \lambda^2}} \right] - 2\pi\lambda, \quad /B7/$$

где суммирование проводится по всем  $m$  и  $n$ , не равным одновременно нулю. При  $\Lambda \rightarrow \infty$   $\lambda$  тоже стремится к  $\infty$  и  $C_{0\Lambda} \rightarrow c_0$ . Вычисление  $c_0$  дано в *Приложении В*.

Найдем теперь коэффициент при  $ik$ . С тем же переобозначением  $\lambda = \beta\Lambda$  имеем

$$C_{k\Lambda} = \frac{1}{2\pi} \sum_{(m,n) \neq (0,0)} \frac{\Lambda}{(\Lambda^2 + \pi^2 m^2 + n^2)^{3/2}} \quad /B8/$$

При  $\Lambda \rightarrow \infty$  сумма превращается в интегральную сумму

$$C_k = \lim_{\Lambda \rightarrow \infty} C_{k\Lambda} = \frac{1}{2\pi} \lim_{\substack{\Lambda_x \rightarrow 0 \\ \Lambda_y \rightarrow 0}} \sum \frac{\Lambda_x \cdot \Lambda_y}{(x^2 + y^2 + 1)^{3/2}},$$

где

$$x = m\Lambda, \quad y = n\Lambda, \quad \Lambda_x = 1/\Lambda, \quad \Lambda_y = 1/\Lambda.$$

При этом в пределе получаем

$$C_k = \frac{1}{2\pi} \int_{-\infty}^{\infty} \frac{dx dy}{(x^2 + y^2 + 1)^{3/2}} = 1. \quad /B9/$$

Коэффициент при  $d_0(3k^2 - k^2)$  в /B6/ равен:

$$C_1 = \frac{1}{16\pi^2} \sum_{(m,n) \neq (0,0)} (m^2 + n^2)^{-3/2}. \quad /B10/$$

Расчет этого коэффициента также дается в *Приложении В*. С учетом /B7/, /B9/ и /B10/ получаем окончательное выражение для  $C_\Lambda$  и в пределе  $\Lambda \rightarrow \infty$  для  $C = \lim_{\Lambda \rightarrow \infty} \tilde{C}_\Lambda$ :

$$\tilde{C} = \frac{c_0}{d_0} - ik \cdot c_1(3k^2 - k^2) d_0 = \frac{2\pi i}{d_0^2 k^2}. \quad /B11/$$

### ПРИЛОЖЕНИЕ В

Вспользуемся методом вычисления решеточных сумм, изложенным в работах <sup>6-9</sup>. Согласно <sup>6</sup>,

$$\sum (m^2 + n^2)^{-s} = 4\zeta(s) \beta(s), \quad /B1/$$

где  $\zeta(s) = \sum_{n=1}^{\infty} n^{-s}$  - функция Римана, а функция  $\beta(s)$  про-  
табулирована в работе [6]. Покажем, что коэффициент  
C<sub>0</sub>/B7/ можно при  $\lambda \rightarrow \infty$  также выразить с помощью  
/B1/. Для этого обозначим

$$S(s) = \lim_{\lambda \rightarrow \infty} \sum_{(m,n) \neq (0,0)} \left[ (\pi^2 + n^2)^{-s} - (m^2 + n^2 + \lambda^2)^{-s} \right] - 2\pi \lambda^{2(1-s)}, \quad /B2/$$

тогда  $c_0 = S(1/2)$ . Но при  $\text{Res } s = 1$  первый член суммы  
сходится,  $\lim_{\lambda \rightarrow \infty} \lambda^{2(1-s)} = 0$  и

$$\lim_{\lambda \rightarrow \infty} \sum_{(m,n) \neq (0,0)} (\lambda^2 + m^2 + n^2)^{-s} = \lim_{\lambda \rightarrow \infty} \lambda^{2(1-s)} \sum_{m,n} (x_n^2 + y_m^2 + 1)^{-s} \lambda x_n \lambda y_m, \quad /B3/$$

где  $x_n = n/\lambda$ ,  $y_m = m/\lambda$ ,  $\lambda x_n \lambda y_m = \frac{1}{\lambda}$ . В пределе  $\lambda \rightarrow \infty$   
второй множитель стремится к интегралу

$$\lim_{\lambda \rightarrow \infty} \sum_{n,m} (x_n^2 + y_m^2 + 1)^{-s} \lambda x_n \lambda y_m = \iint \frac{dx dy}{(x^2 + y^2 + 1)^{s+2}} \cdot 2\pi. \quad /B4/$$

Первый же множитель в /B3/ стремится к нулю. Таким  
образом, доказано, что при  $\text{Res } s = 1$  выражение  $S(s)$  сов-  
падает с /B1/. Для вычисления коэффициента C<sub>0</sub> необ-  
ходимо аналитически продолжить  $S(s)$  из области  $\text{Res } s < 1$   
в точку  $s = \frac{1}{2}$ . Покажем, что это продолжение однозначно.  
Действительно, функция  $\beta(s)$ , согласно [6] не имеет осо-  
бенностей в области  $s < 0$  и ведет себя в этой области  
монотонно, поэтому ее особенности лежат достаточно  
далеко от оси  $\text{Im } s = 0$ . Функция  $\zeta(s)$  имеет единственную  
особую точку [10]  $s = 1$ , причем особенность эта является  
полюсом. Продолжение посредством огибания полюса -  
однозначно, поэтому

$$c_0 = 4\zeta(0,5) \cdot \beta(0,5); \quad /B5/$$

аналогично

$$c_1 = \frac{1}{4\pi^2} \zeta(1,5) \beta(1,5). \quad /B6/$$

Поскольку  $\beta(0,5) = 0,67$ ,  $\beta(1,5) = 0,86$ ,  $\zeta(0,5) = -1,46$ ;  $\zeta(\frac{3}{2}) = 2,61$ , то

$$c_0 = S(0,5) = -4, \quad c_1 = \frac{1}{16\pi^2} S(\frac{3}{2}) = 0,055. \quad /B7/$$

### ПРИЛОЖЕНИЕ Г

Подставим в /17/  $e^{-Qz_j}$  вместо  $\phi(z_j)$  и рассмотрим сумму:

$$\sum_{(z_j)_{j=0}} e^{i a p_z(\tau) z_j} z_j^{-\nu} e^{-Qz_j} \mu(Q, \tau) e^{i a p_z(\tau) z_j} + \eta(Q, \tau) e^{-Qz_j} \quad /Г1/$$

$$\mu(Q, \tau) = 1 - [1 - \exp(-Q - i a p_z(\tau))]^{-1}$$

$$- \eta(Q, \tau) = [1 - [1 - \exp(-i a p_z(\tau) - Q)]^{-1}]^{-1} [1 - \exp(-i a p_z(\tau) - Q)],$$

где последнее равенство есть определение функций  $\mu(Q, \tau)$  и  $\eta(Q, \tau)$ . Если теперь вместо  $\phi(z_j)$  подставить в /17/ выражение /18/, то с учетом /Г1/ будем иметь:

$$\sum_Q B(Q) e^{-Qz_j} e^{i a k_z z_j} = \frac{i a A}{2} \sum_{\tau} \frac{B(Q)}{p_z(\tau)} [\mu(Q, \tau) e^{i a p_z(\tau) z_j} + \eta(Q, \tau) e^{-Qz_j}]. \quad /Г2/$$

Приравняв в этом равенстве коэффициенты при  $e^{i a p_z(\tau) z_j}$  получаем уравнение для нахождения  $Q$ :

$$1 - i \frac{a A}{2} \sum_{\tau} \frac{\eta(Q, \tau)}{p_z(\tau)} = 0. \quad /Г3/$$

Приравняв нулю коэффициенты при  $\exp(i a p_z(\tau) z_j)$ , получаем уравнение для определения коэффициентов  $B(Q)$ :

$$i a A \sum_{\tau} \frac{B(Q)}{2 p_z(\tau)} \mu(Q, \tau) = 0. \quad /Г4/$$



где  $\delta_{\tau,0}$  - символ Кронекера, равный 1 при  $\tau=0$  или 0 в противном случае. Учитывая, что  $p_z(\tau) = k_z$  при  $\tau=0$  и  $p_z \neq a$  при  $\tau \neq 0$ , получаем выражения /19/ и /20/, в которых для  $\mu$  и  $\eta$  использованы их явные выражения.

### ПРИЛОЖЕНИЕ Д

Найдем корни уравнения /22/:

$$1 - \frac{a^2}{2} \left[ \frac{\sin k_z a}{k_z a (\operatorname{ch} Q - \cos k_z a)} + \sum_{\tau \neq 0} \frac{1}{p_\tau} \left( 1 + \frac{\operatorname{sh} p_\tau}{\operatorname{ch} Q - \operatorname{ch} p_\tau} \right) \right]; \quad /Д1/$$

обозначим наименьшее значение  $Q$  через  $Q_0$ , а комбинацию  $\operatorname{ch} Q_0 - \cos k_z a$  через  $f_0$ . Умножим обе части уравнения /Д1/ на  $f_0$  и выразим  $\operatorname{ch} Q_0$  через  $f_0$ , т.е.  $\operatorname{ch} Q_0 = f_0 + \cos k_z a$ , тогда уравнение примет вид:

$$f_0 - \frac{a^2}{2} \left[ \frac{\sin k_z a}{k_z a} + \sum_{\tau \neq 0} \frac{f_0}{p_\tau} \left( 1 + \frac{\operatorname{sh} p_\tau}{f_0 + \cos k_z a - \operatorname{ch} p_\tau} \right) \right]; \quad /Д2/$$

Решение его можно находить итерационными методами. В результате получаем:

$$f_0 = \frac{a^2}{2} + O(a^4). \quad /Д3/$$

Отсюда легко найти  $Q_0$ .

$$\operatorname{ch} Q_0 = g = f_0 + \cos k_z a = 1 + \chi, \quad \chi = \frac{a^2}{2} (1 - k_z^2) + O(a^4) > 0 \quad /Д5/$$

$$Q_0 = \ln(g + \sqrt{g^2 - 1}) = \ln(1 + \chi + \sqrt{2\chi + \chi^2}) = \sqrt{2\chi} + O(\chi^{3/2}) = \\ = a k_z' + O(a^3).$$

По виду уравнения /Д1/ можно сказать, что остальные

значения  $Q$  лежат вблизи  $p_r$ . Обозначив  $f_r = \text{ch} Q_r - \text{ch} p_r$ , получим для  $f_r$  уравнение:

$$f_r = \frac{a^2}{2} \left[ \frac{\text{sh} p_r}{p_r} + f_r \left( \frac{\sin k_z a}{k_z a (f_r + \text{ch} p_r - \cos(k_z a))} + \frac{1}{p_r} \right) \right] +$$

$$\cdot f_r \sum_{r=0}^{\infty} \left( 1 + \frac{\text{sh} p_r}{f_r + \text{ch} p_r - \text{ch} p_r} \right) \frac{1}{p_r} \quad /Д6/$$

итерационное решение которого есть:

$$f_r = \frac{a^2}{2} \frac{\text{sh} p_r}{p_r} + O(a^4) \quad /Д7/$$

Обозначив  $Q_r = p_r + \lambda_r$ , получим

$$f_r = \text{ch} Q_r - \text{ch} p_r = \lambda_r \cdot \text{sh} p_r \quad /Д8/$$

откуда сравнением с /Д7/ находим

$$\lambda_r = a^2 - 2p_r \quad /Д9/$$

### ПРИЛОЖЕНИЕ E

В случае слоя конечной толщины вторая сумма во второй строке выражения /Г1/ будет иметь вид:

$$\sum_{l=j+1}^L e^{i\alpha p_z(\tau) z_j} e^{-(Q-i\alpha p_z(\tau)) z_l} = e^{-Q z_j} \cdot [1 - \exp(Q - i\alpha p_z(\tau))] \cdot$$

$$+ e^{-i p_z(\tau) z_j a} \frac{\exp(-Q + i\alpha p_z(\tau) L)}{1 - \exp(Q - i\alpha p_z(\tau))} \quad /E1/$$

поэтому всю сумму в правой части уравнения /17/ можно представить в виде:

$$S = \sum_{(l \neq j)=0}^L e^{i\alpha p_z(\tau) |z_j - z_l| - Qz_l} = \mu_-(Q, \tau) e^{i\alpha p_z(\tau) z_j} + \eta_+(Q, \tau) e^{-Qz_j} + \chi_-(Q, \tau) e^{-i\alpha p_z(\tau) z_j} \quad /E2/$$

$$\mu_-(Q, \tau) = \frac{1}{1 - \exp(-Q - i\alpha p_z(\tau))}; \quad \chi_-(Q, \tau) = \frac{\exp[(i\alpha p_z(\tau) - Q)L]}{1 - \exp(Q - i\alpha p_z(\tau))};$$

$$\eta_-(Q, \tau) = -[\mu_-(Q, \tau) + \mu_-( -Q, \tau)].$$

При решении уравнения /17/ в случае конечного слоя удобно решение искать в виде /30/, Постановка его в /17/ с учетом /E2/ дает

$$\begin{aligned} \Sigma (B_+(Q) e^{Qz_j} + B_-(Q) e^{-Qz_j}) e^{i\alpha k_z z_j} - \frac{i\alpha A}{2\tau, Q} \Sigma \frac{1}{p_\tau} [B_-(Q) \times \\ \times (\mu_- e^{i\alpha p_z(\tau) z_j} + \eta_- e^{-Qz_j} + \chi_- e^{-i\alpha p_z(\tau) z_j}) + \\ + B_+(Q) (\mu_+ e^{i\alpha p_z(\tau) z_j} + \eta_+ e^{Qz_j} + \chi_+ e^{-i\alpha p_z(\tau) z_j})], \end{aligned} \quad /E4/$$

где  $\mu_+$ ,  $\eta_+$ ,  $\chi_+$  получаются из  $\mu_-$ ,  $\eta_-$ ,  $\chi_-$  заменой  $Q$  на  $-Q$ . Очевидно, что  $\eta_+ = \eta_- = \eta_j$ , поэтому приравнивание коэффициентов при  $e^{-Qz_j}$  и  $e^{Qz_j}$  дает одно и то же уравнение /ГЗ/. Приравнивание же нулю коэффициентов при  $e^{i\alpha p_z(\tau) z_j}$  и  $e^{-i\alpha p_z(\tau) z_j}$  дает две системы уравнений:

$$\delta_{\tau,0} - \frac{i\alpha A}{2p_z(\tau)} \sum_Q [V_-(Q)\mu_-(Q,\tau) + V_+(Q)\mu_+(Q,\tau)] = 0$$

/E5/

$$\sum_Q [V_-(Q)\chi_-(Q,\tau) + V_+(Q)\chi_+(Q,\tau)] = 0.$$

/ $\delta_{\tau,0}$  - символ Кронекера/. Полученные уравнения совпадают с /31/.

#### Литература

1. Ф.Л.Шапиро. Сообщение ОИЯИ, РЗ-7135, Дубна, 1973.
2. В.К.Игнатович. Сообщение ОИЯИ, Р4-7055, Дубна, 1973.
3. А.В.Степанов, А.В.Шелагин. Кр. сообщения по физике ФИАН, № 1, 1974.
4. В.Г.Барышевский, В.Л.Любошиц, М.И.Подгорецкий. Препринты ОИЯИ, Р-2111, Р-2230, Дубна, 1965.
5. В.К.Игнатович. Препринт ОИЯИ, Р4-6553, Дубна, 1972.
6. M.L.Glasser. J.Math.Phys., 14, 409 (1973).
7. M.L.Glasser, *ibid*, 14, 707 (1973).
8. M.L.Glasser, *ibid*, 15, 520 (1974).
9. A.Houtot, *ibid*, 15, 268 (1974).
10. Э.Т.Уиттекер, Дж.Н.Ватсон. Курс современного анализа., ч. 2, М., Физматгиз, 1963.

Рукопись поступила в издательский отдел  
16 апреля 1975 года.